



L4981A
L4981B

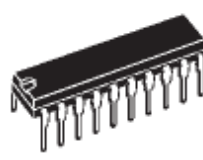
功率因数校正

- 控制助力PWM高达0.99P.F.
- 限制线电流失真< 5%
- 通用输入主电源
- 饲料前锋线上与负载调节
TION
- 平均电流模式的PWM
最小的噪声敏感度
- 大电流双极型和DMOS的TO -
TEM柱输出
- 低启动电流(0.3mA TYP.)
- 根据与HYS-电压分离
磁滞和可编程接通
阈值
- 过压, 过流的PROTEC -
TION
- 精确的芯片参考2%的EX -
TERNALLY可供
- 软启动

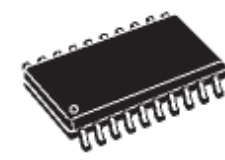
描述

该L4981 I.C. 提供了必要的功能
实现了非常高的功率因数高达0.99.
在BCD 6011技术实现这个功率因数
(PFC) 预调节校正包含所有con-

MULTIPOWER BCD技术



DIP20



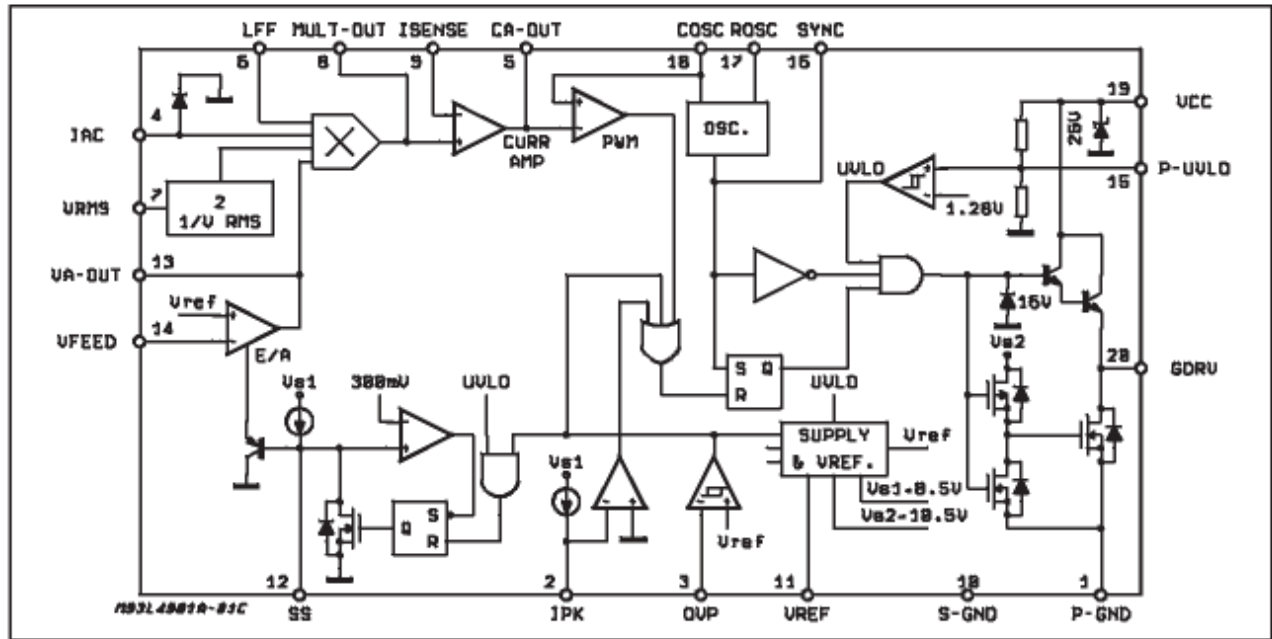
SO20

订购号:

L4981X (DIP20)
L4981XD (SO20)

设计一个高效率的模式trol 功能
正弦电源线电流con-
消耗.
该L4981可以很容易地在系统的使用
85V电源电压之间没有任何265V
行开关. 这种新的PFC提供了可能性
工作在固定频率或调制(L4981A)
频率(L4981B)优化的大小,

框图



L4981A - L4981B

把过滤器;两个工作频率模式
使用平均电流模式PWM con-
控制器,保持正弦线电流不
斜率补偿.
除了功率MOSFET栅极驱动器,精密电压
年龄引用(外部可用),误差放大器的
fier,欠压分离,电流检测和

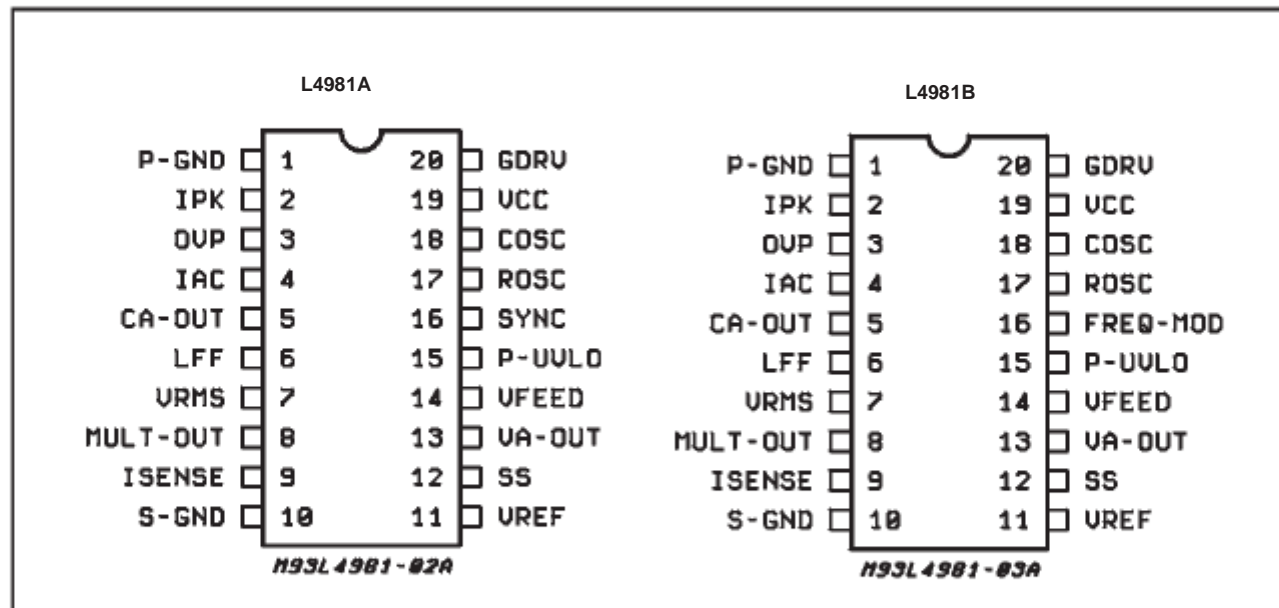
软启动均包括在内.为了限制人数
外部元件,该器件集成了亲
tecti ons如过压和过流保护.该
过电流水平可以使用
简单的电阻L4981A.对于一个更好的精度
和L4981B外部分压器必须使用.

绝对最大额定值

符号	针	参数	价值	单位
V _{CC}	19	电源电压(I _{CC} ≤ 50mA) (*)	selflimit	V
I _{GDRV}	20	Gate driv. output 峰值 current (t = 1 μs)	2	A
		水槽 消息来源	1.5	A
V _{GDRV}		Gate driv. output voltage t = 0.1 μs	-1	V
		电压在pins 3, 14, 7, 6, 12, 15	-0.3到9	V
V _{VA-OUT}	13	电压误差放大器	-0.3到8.5	V
I _{AC}	4	AC输入电流	5	mA
		引脚电压8, 9	-0.5到7	V
V _{CA-OUT}	5	电压电流放大器. (I _{source} = -20mA; I _{sink} = 20mA)	-0.3到8.5	V
V _{ROSC}	17	电压引脚17	-0.3到3	V
	11, 18	引脚电压11, 18	-0.3到7	V
I _{COSC}	18	输入漏电流	15	mA
I _{FREQ-MOD}	16	调频灌电流(L4981B)	5	mA
V _{SYNC}	16	同步. 电压(L4981A)	-0.3到7	V
V _{IPK}	2	电压引脚2	-0.3到5.5	V
		电压引脚2 t = 1 μs	-2	V
P _{tot}		功率消耗在T _{amb} = 70 °C (DIP20)	1	W
		功率消耗在T _{amb} = 70 °C (SO20)	0.6	W
T _{op}		工作环境温度	-40到125	°C
T _{stg}		StorageTemperature	-55到150	°C

(*)最大包装功耗限制必须得到遵守.

引脚连接 (顶视图)



热数据

符号	参数	拨20	苏20	单位
$R_{thj-amb}$	热阻结到环境	80	120	$^{\circ}\text{C}/\text{W}$

各端子的功能

N.	名称	说明
1	P-GND	电源地.
2	IPK	L4981A 峰值电流限制. 得到一个电流限制使用单个电阻连接引脚2之间的感应电阻. 为了有一个更好的精度之间的另一个引脚电阻2和一个参考电压 (引脚11)必须添加. L4981B 峰值电流限制. 精确的电流限制为获得使用两个外部电阻只. 这些电阻必须连接之间的感应电阻, 引脚2和参考电压.
3	OVP	过电压保护. 在此输入进行比较精确的内部电压5.1V (typ)参考用的升压输出电压通过一个电阻分压器在获得样本为了限制最大输出电压峰值.
4	IAC	为AC输入电流. 输入电流成正比的电压整流电源产生, 通过乘数, 当前放大器的电流参考.
5	CA-OUT	电流放大器的输出. 外部RC网络决定因子的闭环增益.
6	LFF	负荷前馈; 这个电压输入引脚允许修改乘法器的输出电流比例负载, 为了给一个与负载瞬态响应速度. 最好工作关系得到控制1.5V和5.3V. 如果不使用此功能, 连接该管脚到参考电压 (引脚= 11).
7	VRMS	输入线电压成正比RMS. 补偿的VRMS输入线电压的变化. 低通之间的连接线与整流7, 一DC电压端子滤波器比例在输入电压线路RMS得到. 达到最佳的控制是使用输入电压之间1.5V和5.5V. 如果不使用此功能连接该引脚的电压基准 (引脚= 11).
8	MULT-OUT	乘法器的输出. 该引脚共同的乘数输出和输入电流放大器N. I. 像I高阻抗输入 I_{SENSE} 的MULT-OUT引脚必须采取不低于-0.5V.
9	I_{SENSE}	电流放大器的反相输入. 必须小心, 以避免下来goes针-0.5V.
10	S-GND	信号接地.
11	V_{REF}	输出参考电压 (typ = 5.1V). 电压reference在 $\pm 2\%$ 外部可用的准确性, 它的内部电流限制, 并能提供一个输出电流高达10mA.
12	SS	连接到地的电容定义了软启动时间. 内部电流产生程序提供100 μA (typ)确定收费的外部软启动电容器的时间常数. 一个内部MOS放电时, 无论是外部软启动电容电压和UVLO条件.
13	VA-OUT	误差放大器输出, RC网络修复电压环增益特性.
14	VFEED	电压误差放大器的反相输入. 这种反馈输入是通过一个连接分压器升压输出电压.
15	P-UVLO	可编程阈值输入电压下了锁. 供求之间分压器电压和GND可以连接, 以方案的阈值打开.
16	同步 (L4981A)	这种同步输入/输出引脚CMOS逻辑兼容. 经营中, 如一个SYNC矩形波必须适用于该引脚. Operating作为同步, 一个长方形的时钟脉冲可用于同步其他设备.
	FREQ-MOD (L4981B)	调频电流输入. 一个外部电阻必须连接在引脚16而为了纠正线电压调节振荡器的频率. 连接到引脚16地面固定频率R施加 f_{osc} 和 C_{osc} 获得.
17	R_{osc}	外部电阻连接到地修复了C恒定充电电流 f_{osc} .
18	C_{osc}	外部电容连接到GND修复了开关频率.
19	V_{CC}	电源输入电压.
20	GDRV	输出驱动器. 双极晶体管和DMOS图腾柱输出级可以提供峰值超过1A有用的驱动电流MOSFET或IGBT功率级.

L4981A - L4981B

电气特性 (除另有注明外) $V_{CC} = 18V, C_{OSC} = 1nF,$
 $R_{OSC} = 24K\Omega, C_{SS} = 1\mu F, V_{CA-OUT} = 3.5V, V_{ISENSE} = 0V, V_{LFF} = V_{号}, I_{AC} = 100\mu A, V_{RMS} = 1V,$
 $V_{饲料} = GND, V_{IPK} = 1V, V_{OVP} = 1V, T_J = 25^\circ C$

符号	Parameter	测试条件	最小	Typ.	最大	单位
误差放大器部分						
V_{IO}	输入失调电压	$-25^\circ C < T_J < 85^\circ C$			± 8	mV
I_{IB}	电流输入偏置	$V_{FEED} = 0V$	-500	-50	500	nA
	开环增益		70	100		dB
V_{13H}	输出高电压	$V_{FEED} = 4.7V$ $I_{VA-OUT} = -0.5mA$	5.5	6.5	7.5	V
V_{13L}	输出低电压	$V_{FEED} = 5.5V$ $I_{VA-OUT} = 0.5mA$		0.4	1	V
$-I_{13}$	输出源电流	$V_{FEED} = 4.7V; V_{VA-OUT} = 3.5V$	2	10		mA
I_{13}	输出灌电流	$V_{FEED} = 5.5V; V_{VA-OUT} = 3.5V$	4	20		mA
参考部分						
V_{ref}	参考输出电压	$-25^\circ C < T_J < 85^\circ C$	4.97	5.1	5.23	V
		$T_J = 25^\circ C, I_{ref} = 0$	5.01	5.1	5.19	V
ΔV_{ref}	负载调整	$1mA \leq I_{ref} \leq 10mA$ $-25^\circ C < T_J < 85^\circ C$		3	15	mV
ΔV_{ref}	线路调整	$12V \leq V_{CC} \leq 19V$ $-25^\circ C < T_J < 85^\circ C$		3	10	mV
I_{refsc}	短路电流	$V_{ref} = 0V$	20	30	50	mA
振荡器部分						
f_{osc}	初始精度	$T_J = 25^\circ C$	85	100	115	千赫
	频率稳定度	$12V \leq V_{CC} \leq 19V$ $-25^\circ C < T_J < 85^\circ C$	80	100	120	千赫
V_{syp}	兰普谷峰值		4.7	5	5.3	V
I_{18C}	充电电流	$V_{COSC} = 3.5V$	0.45	0.55	0.65	mA
I_{18D}	放电电流	$V_{COSC} = 3.5V$		11.5		mA
V_{18}	峰谷电压斜坡		0.9	1.15	1.4	V
同步部分 (仅适用于L4981A)						
t_w	输出脉冲宽度	50%振幅	0.3	0.8		μs
I_{16}	灌电流输出低电压	$V_{SYNC} = 0.4V$ $V_{COSC} = 0V$	0.4	0.8		mA
$-I_{16}$	源电流输出高电压	$V_{SYNC} = 4.5V$ $V_{COSC} = 6.7V$	1	6		mA
V_{16L}	低输入电压				0.9	V
V_{16H}	高输入电压		3.5			V
t_d	脉冲同步		800			ns
调频功能 (仅适用于L4981B)						
f_{18max}	最大振荡频率	$V_{FREQ-MOD} = 0V$ (销16) $f_{req} = 0$	85	100	115	千赫
f_{18min}	振荡器频率最低	$I_{FREQ-MOD} = 360\mu A$ (销16) $V_{VRMS} = 4V$ (销7)		74		千赫
		$I_{FREQ-MOD} = 180\mu A$ (销16) $V_{VRMS} = 2V$ (销7)		76		千赫
软启动第						
I_{SS}	软启动电流源	$V_{SS} = 3V$	60	100	140	μA
V_{12sat}	输出饱和电压	$V_3 = 6V, I_{SS} = 2mA$		0.1	0.25	V

电气特性 (续)

符号	参数	测试条件	最小	Typ.	最大	单位
电源电压						
V_{CC}	工作电源电压				19.5	V
过电压保护比较器						
V_{thr}	阈值电压上升		$V_{ref} - 20mV$	5.1	$V_{ref} + 20mV$	V
V_{3Hys}	迟滞		180	250	320	mV
I_3	电流输入偏置			0.05	1	μA
t_d	传播延迟到输出	$V_{OVP} = V_{thr} + 100mV$		1	2	μs
过电流保护比较器						
V_{th}	阈值电压				± 30	mV
t_d	传播延迟到输出	$V_{OCP} = V_{thr} - 0.2V$		0.4	0.9	μs
I_{pk}	电流源产生程序	$V_{IPK} = -0.1V$ 只有L4981A	65	85	105	μA
I_L	泄漏电流	$V_{IPK} = -0.1V$ 只有L4981B			5	μA
电流放大器部分						
V_{offset}	输入失调电压	$V_{MULT OUT} = V_{SENSE} = 3.5V$			± 2	mV
I_{gbias}	电流输入偏置	$V_{SENSE} = 0V$	-500	50	500	nA
	开环增益	$1.1V \leq V_{CA OUT} \leq 6V$	70	100		dB
SVR	电源电压抑制	$12V \leq V_{CC} \leq 19V$ $V_{MULT OUT} = 3.5V, V_{SENSE} = 3.5V$	68	90		dB
V_{5H}	输出高电压	$V_{MULT OUT} = 200mV$ $I_{CA OUT} = -0.5mA, V_{IAC} = 0V$	6.2			V
V_{5L}	输出低电压	$V_{MULT OUT} = -200mV$ $I_{CA OUT} = 0.5mA, V_{IAC} = 0V$			0.9	V
$-I_5$	输出源电流	$V_{MULT OUT} = 200mV,$ $V_{IAC} = 0V, V_{CA-OUT} = 3.5V$	2	10		mA
I_5	输出灌电流		2	10		mA
输出部分						
V_{20L}	输出电压低	$I_{SINK} = 250mA$		0.5	0.8	V
V_{20H}	输出电压高	$I_{SOURCE} = 250mA$ $V_{CC} = 15V$	11.5	12.5		V
t_r	输出电压上升时间	$C_{OUT} = 1nF$		50	150	ns
t_f	输出电压下降时间	$C_{OUT} = 1nF$		30	100	ns
V_{GDRV}	电压钳	$I_{SOURCE} = 0mA$	13	16	19	V
总待机当前节						
$I_{19start}$	电源电流启动前	$V_{CC} = 14V$		0.3	0.5	mA
I_{19on}	打开后, 电源电流	$V_{IAC} = 0V, V_{COSC} = 0,$ $Pi n17 = \text{开放}$		8	12	mA
I_{19}	工作电源电流	$Pi n20 = 1nF$		12	16	mA
V_{CC}	齐纳电压	(*)	20	25	30	V
第欠压分离						
$V_{th ON}$	打开门限		14.5	15.5	16.5	V
$V_{th OFF}$	关闭阈值		9	10	11	V
	可编程启动阈值	$Pi n 15 \text{到} V_{CC} = 220K$ $Pi n15 \text{到} GND = 33K$	10.6	12	13.4	V
负荷前馈						
I_{LFF}	偏置电流	$V_6 = 1.6V$		70	140	μA
		$V_6 = 5.3V$		200	300	μA
V_I	输入电压范围		1.6		5.3	V

(*)最大包装功耗限制必须得到遵守。



L4981A - L4981B

电气特性 (续)

符号	Parameter	测试条件	最小	Typ.	最大	单位
乘第	Multiplier输出电流	$V_{VA-OUT} = 4V, V_{RMS} = 2V,$ $V_{MULTOUT} = 0, V_{LFF} = 5.1V$ $I_{AC} = 50\mu A, C_{OSC} = 0V$	20	35	52	μA
		$V_{VA-OUT} = 4V, V_{RMS} = 2V,$ $V_{MULTOUT} = 0, V_{LFF} = 5.1V$ $I_{AC} = 200\mu A, C_{OSC} = 0V$	100	135	170	μA
		$V_{VA-OUT} = 2V, V_{RMS} = 2V,$ $V_{MULTOUT} = 0, V_{LFF} = 5.1V$ $I_{AC} = 100\mu A, C_{OSC} = 0V$	10	20	30	μA
		$V_{VA-OUT} = 2V, V_{RMS} = 4V,$ $V_{MULTOUT} = 0, V_{LFF} = 5.1V$ $I_{AC} = 100\mu A, C_{OSC} = 0V$	2	5.5	11	μA
		$V_{VA-OUT} = 4V, V_{RMS} = 4V,$ $V_{MULTOUT} = 0, V_{LFF} = 5.1V$ $I_{AC} = 100\mu A, C_{OSC} = 0V$	10	22	34	μA
		$V_{VA-OUT} = 4V, V_{RMS} = 2V,$ $V_{MULTOUT} = 0, V_{LFF} = 2.5V$ $C_{OSC} = 0V, I_{AC} = 200\mu A$	20	37	54	μA
		$V_{VA-OUT} = 4V, V_{RMS} = 4V,$ $V_{MULTOUT} = 0, V_{LFF} = 5.1V$ $I_{AC} = 200\mu A, C_{OSC} = 0V$	20	39	54	μA
		$V_{VA-OUT} = 2V, V_{RMS} = 4V,$ $V_{MULTOUT} = 0, V_{LFF} = 5.1V$ $I_{AC} = 0, C_{OSC} = 0V$	-2	0	2	μA
K	乘法器增益			0.37		

$$I_{MULT-OUT} = K I_{AC} \frac{(V_{VA-OUT} - 1.28) (0.8 V_{LFF} - 1.28)}{(V_{VRMS})^2}$$

如果 $V_{LFF} = V_{REF}$: $I_{MULT-OUT} = I_{AC} \frac{(V_{VA-OUT} - 1.28)}{(V_{VRMS})^2} K1$

其中: $K1 = 1V$

图1: 多输出主场迎战 I_{AC} ($V_{RMS} = 1.7V$;
 $V_{LFFD} = 5.1V$)

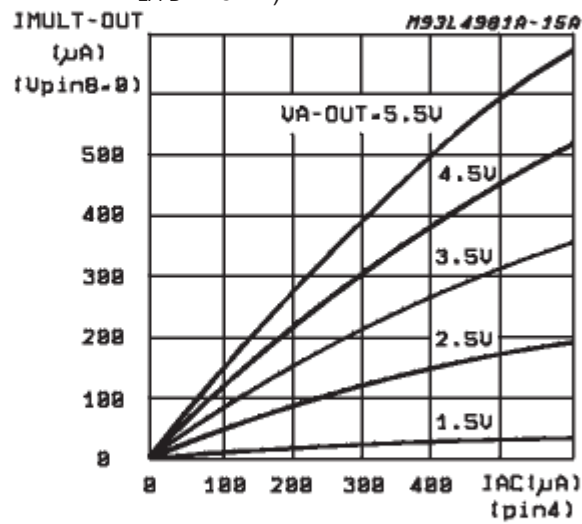


图2: 多输出主场迎战 I_{AC} ($V_{RMS} = 2.2V$;
 $V_{LFFD} = 5.1V$)

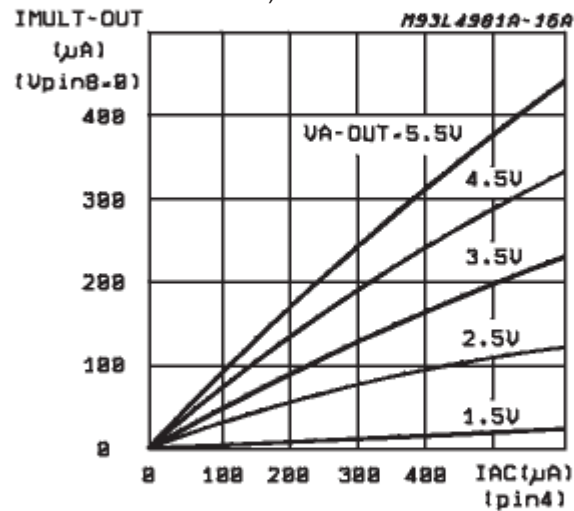


图3: 多输出主端迎战I_{AC} (V_{RMS} = 4.4V; V_{LFFD} = 5.1V)

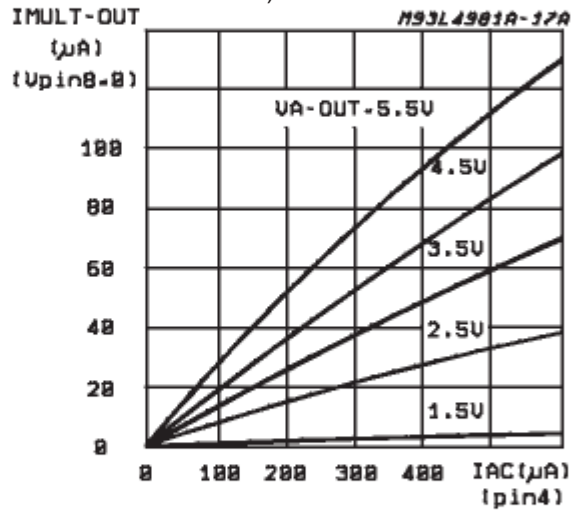


图4: 多输出主端迎战I_{AC} (V_{RMS} = 5.3V; V_{LFFD} = 5.1V)

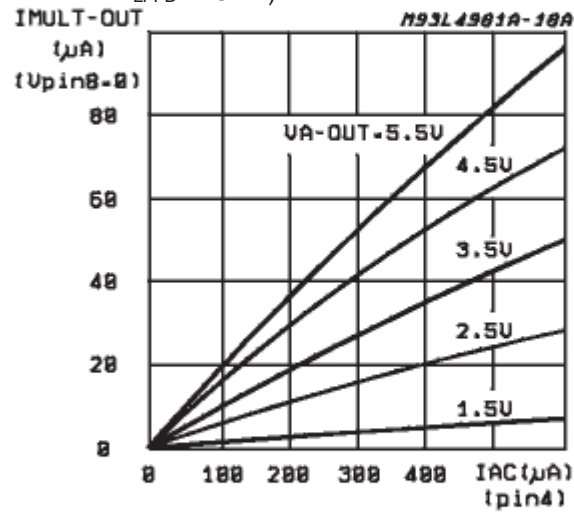


图5: 多输出主端迎战I_{AC} (V_{RMS} = 1.7V; V_{LFFD} = 2.5V)

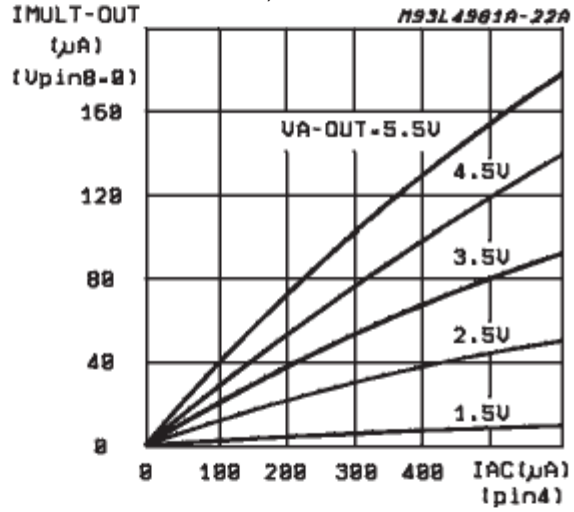


图6: 多输出主端迎战I_{AC} (V_{RMS} = 2.2V; V_{LFFD} = 2.5V)

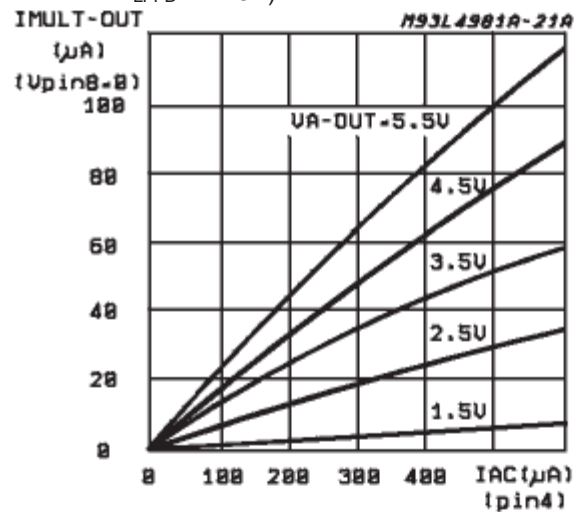


图7: 多输出主端迎战I_{AC} (V_{RMS} = 4.4V; V_{LFFD} = 2.5V)

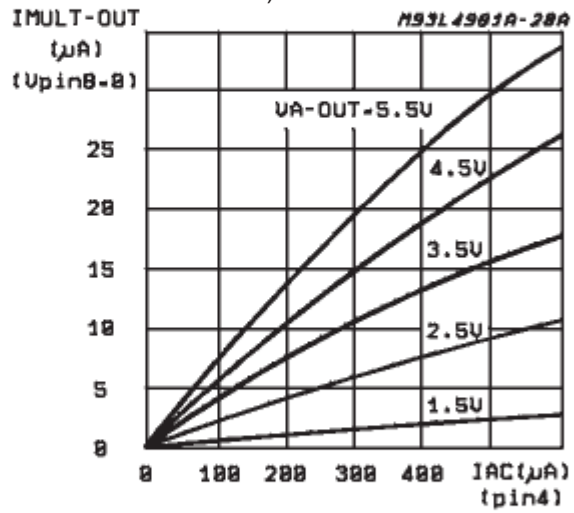
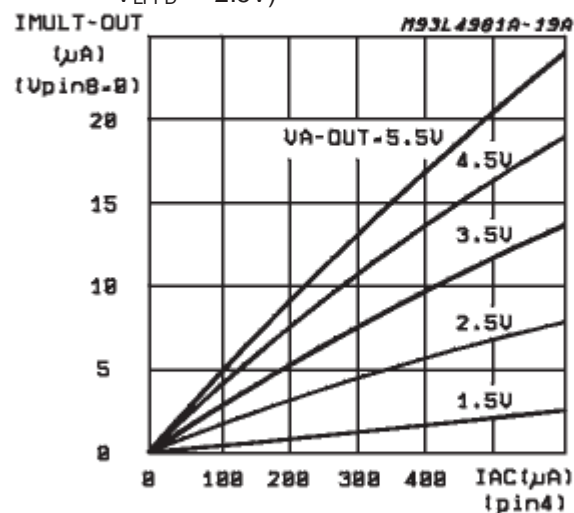
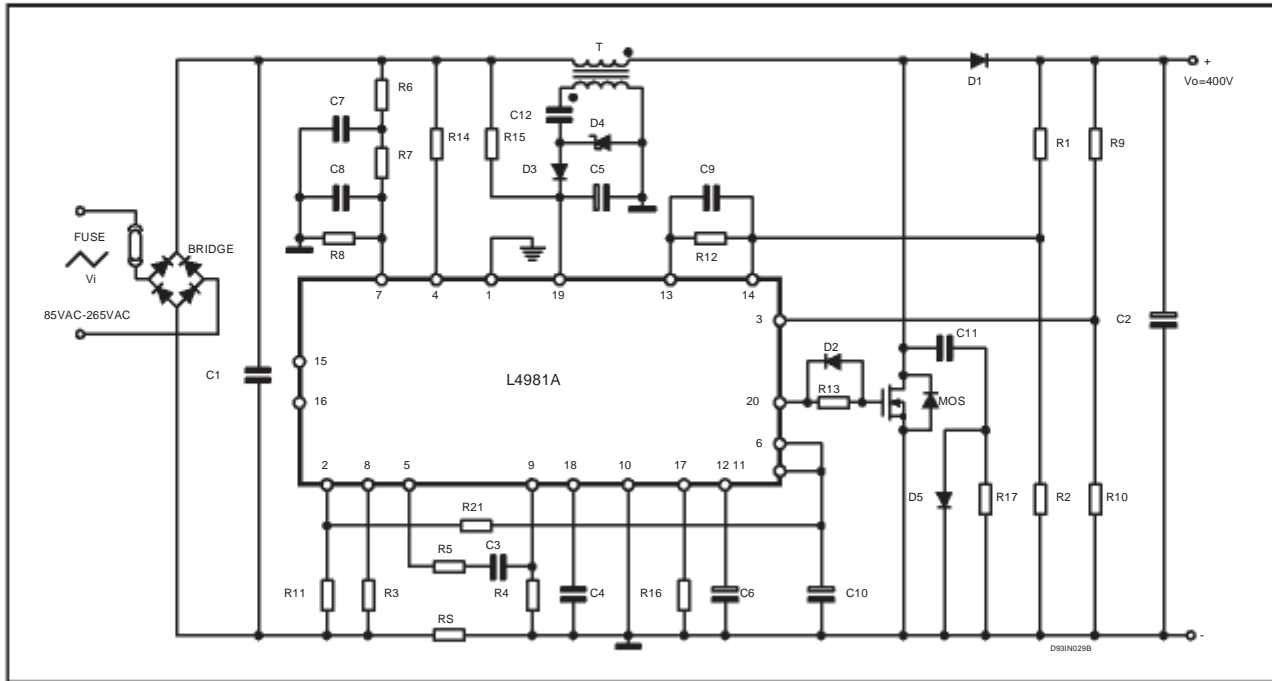


图8: 多输出主端迎战I_{AC} (V_{RMS} = 5.3V; V_{LFFD} = 2.5V)



L4981A - L4981B

图9A: L4981A功率因数校正(200W)



零件列表

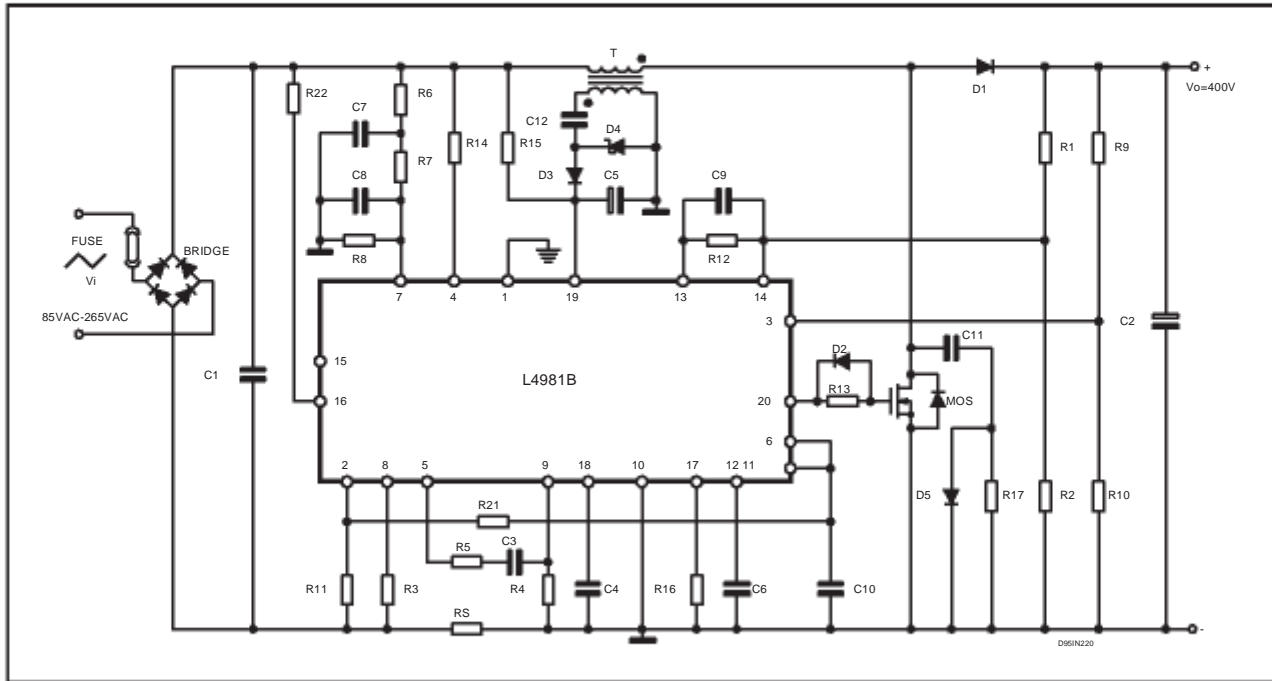
R _s	0.07(3 x .22)	1/2W	5%
R1	820k Ω	1/4W	1%
R2	10k Ω	1/4W	1%
R3	1.8k Ω	1/4W	5%
R4	1.8k Ω	1/4W	5%
R5	18k Ω	1/4W	5%
R6	1.2M Ω	1/4W	5%
R7	360k Ω	1/4W	5%
R8	33k Ω	1/4W	5%
R9	1.8M Ω	1/4W	1%
R10	21k Ω	1/4W	1%
R11	402 Ω	1/4W	1%
R12	120k Ω	1/4W	5%
R13	27 Ω	1/4W	5%
R14	1M Ω	1/4W	1%
R15	120k Ω	1/2W	5%
R16	30k Ω	1/4W	5%
R17	1.8k Ω	4W	1%
R21	5.1k Ω	1/4W	1%
桥= 4 x P600M			

C1	470nF	400V
C2	100 μ F	450V
C3	2.2nF	
C4	1nF	
C5	100 μ F	25V
C6	1 μ F	16V
C7	220nF	63V
C8	220nF	63V
C9	330nF	
C10	1 μ F	16V
C11	270pF	400V
C12	8.2nF	100V
D1	STTA506D	
D2, D3	1N4148	
D4	18V	1/2W
D5	BYT11-600	
MOS	STH/STW15NA50	
保险丝= 4A/250V		

T= 初级: 88的12 x 32 AWG (0.2mm) 轮流
 次级: 9化的# 27AWG (0.15mm)
 核心: B1ET3411A汤姆逊- CSF
 gap: 1,6mm for a total 初级 inductance of 0.9mH

$f_{sw} = 80\text{kHz}$ $P_o = 200\text{W}$
 $V_{输出} = 400\text{V}$ $I_{rms最大} = 2.53\text{A}$
 $V_{OVP} = 442\text{V}$ $I_{PK最大} = 6.2\text{A}$

图9B: L4981B功率因数校正(200W)



零件列表

R _s	0.07(3 x .22)	1/2W	5%
R1	820k Ω	1/4W	1%
R2	10k Ω	1/4W	1%
R3	1.8k Ω	1/4W	5%
R4	1.8k Ω	1/4W	5%
R5	18k Ω	1/4W	5%
R6	1.2M Ω	1/4W	5%
R7	360k Ω	1/4W	5%
R8	33k Ω	1/4W	5%
R9	1.8M Ω	1/4W	1%
R10	21k Ω	1/4W	1%
R11	402 Ω	1/4W	1%
R12	120k Ω	1/4W	5%
R13	27 Ω	1/4W	5%
R14	1M Ω	1/4W	1%
R15	120k Ω	1/2W	5%
R16	24k Ω	1/4W	5%
R17	1.8k Ω	4W	1%
R21	5.1k Ω	1/4W	1%
R22	1.1M Ω	1/4W	1%

桥= 4 x P600M

C1	470nF	400V
C2	100 μ F	450V
C3	2.2nF	
C4	1.1nF	
C5	100 μ F	25V
C6	1 μ F	16V
C7	220nF	63V
C8	220nF	63V
C9	330nF	
C10	1 μ F	16V
C11	270pF	400V
C12	8.2nF	100V
D1	STTA506D	
D2, D3	1N4148	
D4	18V	1/2W
D5	BYT11-600	
MOS	STH/STW15NA50	

保险丝= 4A/250V

T= 初级: 88的12 x 32 AWG (0.2mm) 轮流
 次级: 9化的# 27AWG (0.15mm)
 核心: B1ET3411A汤姆逊- CSF
 gap: 1,6mm for a total 初级 inductance of 0.9mH

$f_{sw} = 80$ 到 92 kHz $P_o = 200$ W
 $V_{输出} = 400$ V $I_{rms最大} = 2.53$ A
 $V_{OVP} = 442$ V $I_{PK最大} = 6.2$ A

L4981A - L4981B

图10: 参考电压与参考源, ence电流

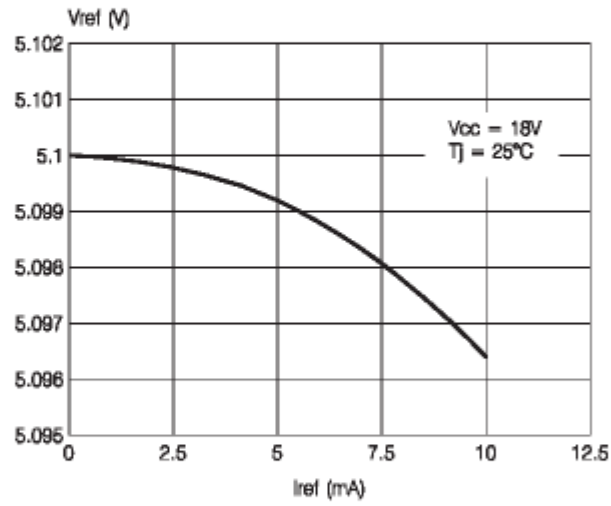


图11: 参考电压与电源电压

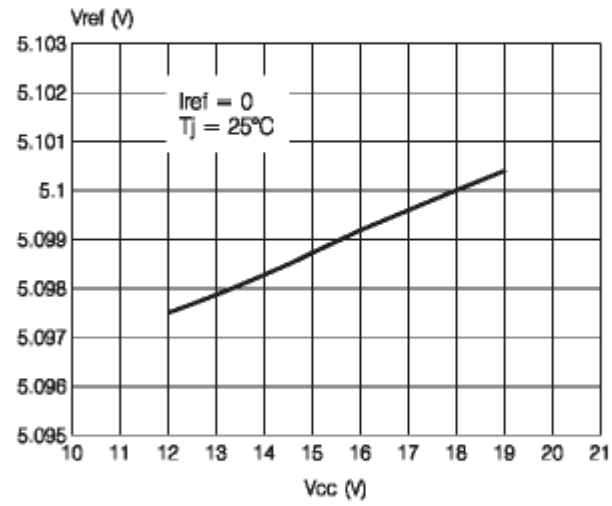


图12: 参考电压与结Tem-温度

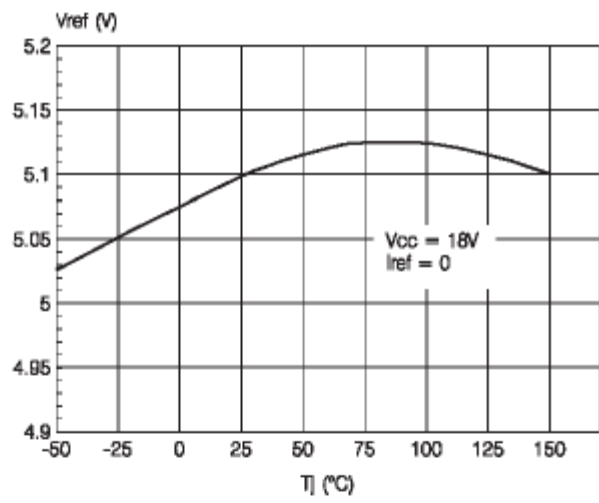


图13: 开关频率与结温度

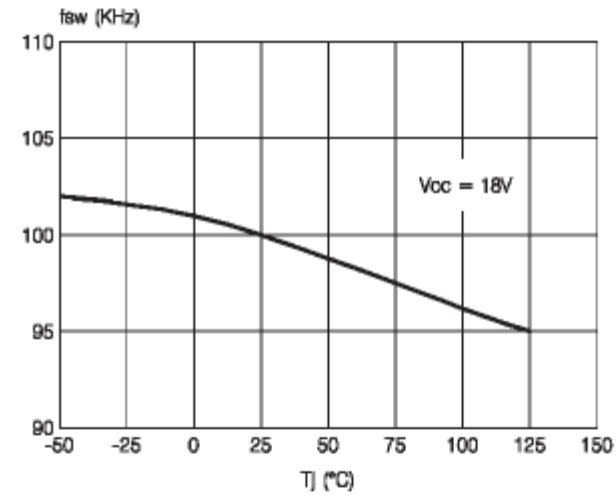


图14: 门驱动器上升和下降时间

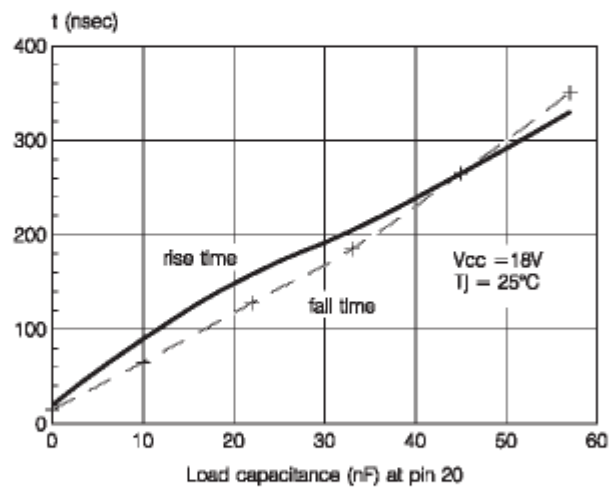


图15: 工作电源电流与电源电压

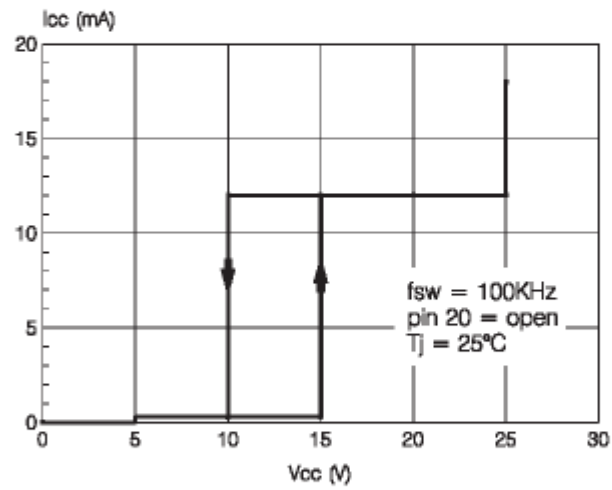


图16: 可编程欠压锁定
出阈值

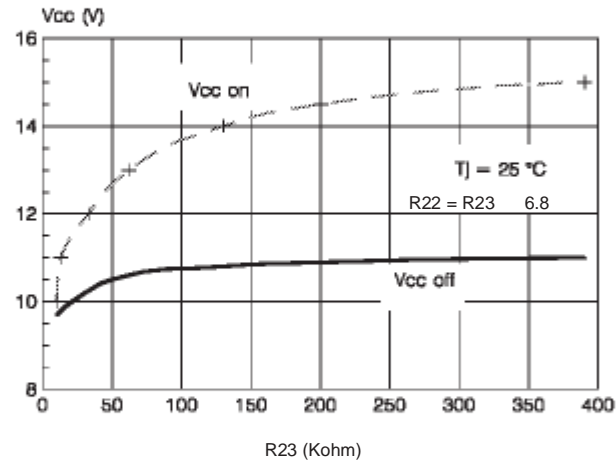


图17: 在调制频率归
电源电压的半周期

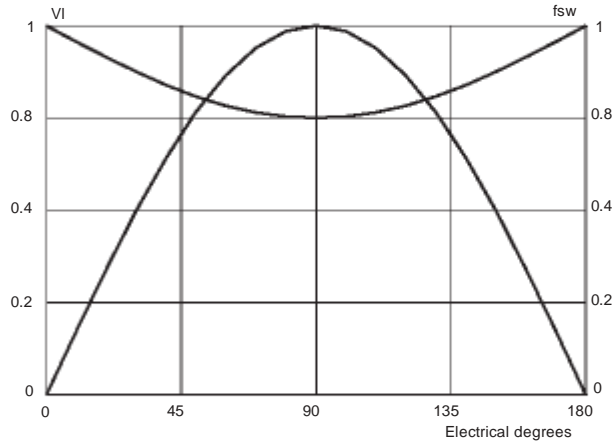
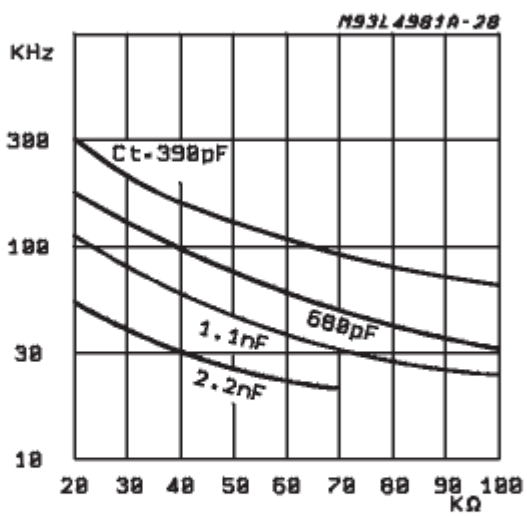


表1: 可编程欠压分离阈值.

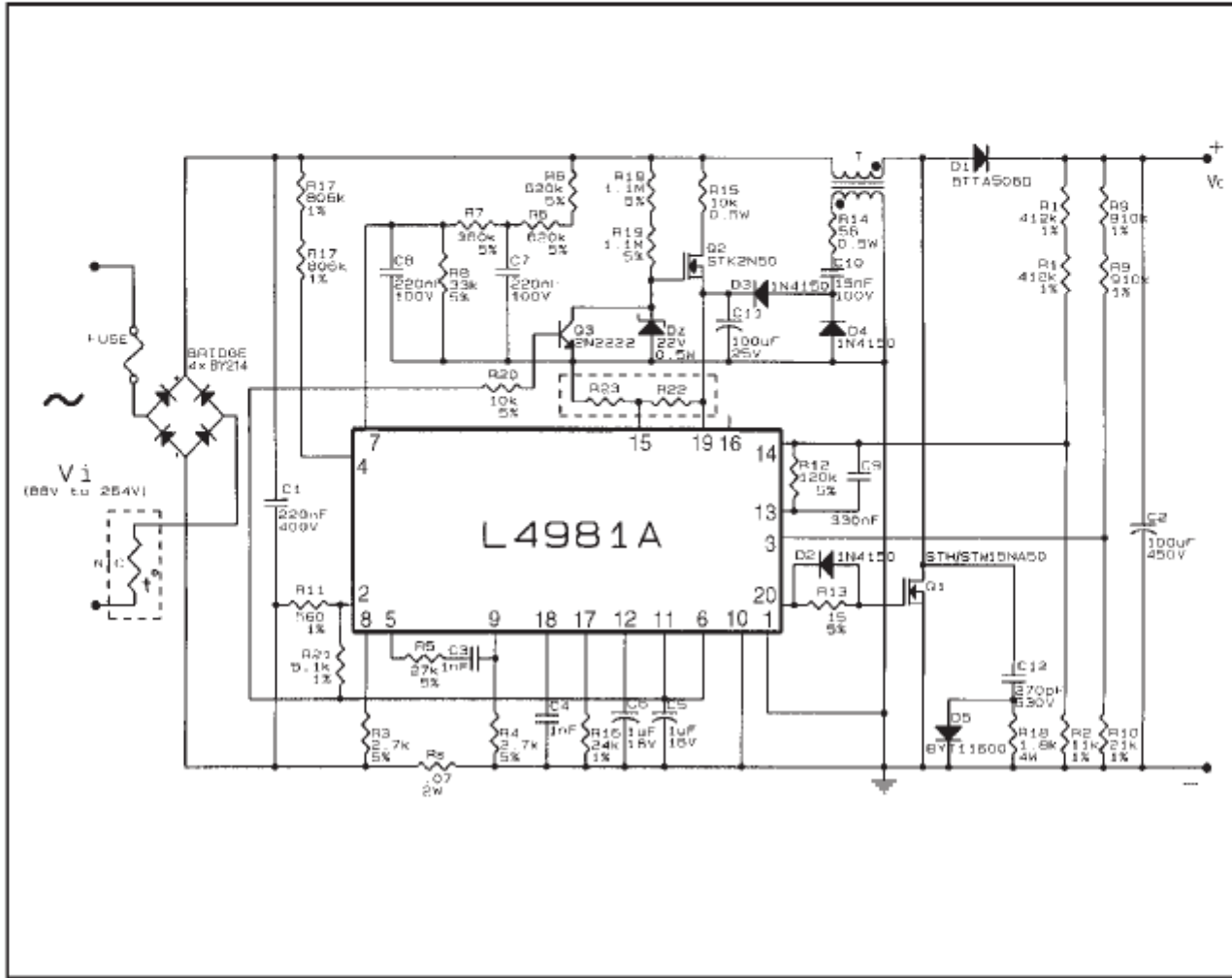
V _{CC ON}	V _{CC OFF}	R22	R23
11V	10V	82k Ω	12k Ω
12V	10.1V	220k Ω	33k Ω
13V	10.5V	430k Ω	62k Ω
14V	10.8V	909k Ω	133k Ω
14.5V	10.9V	1.36M Ω	200k Ω
15V	11V	2.7M Ω	390k Ω

图18: 振荡器图



L4981A - L4981B

图19: 200W评估板电路.



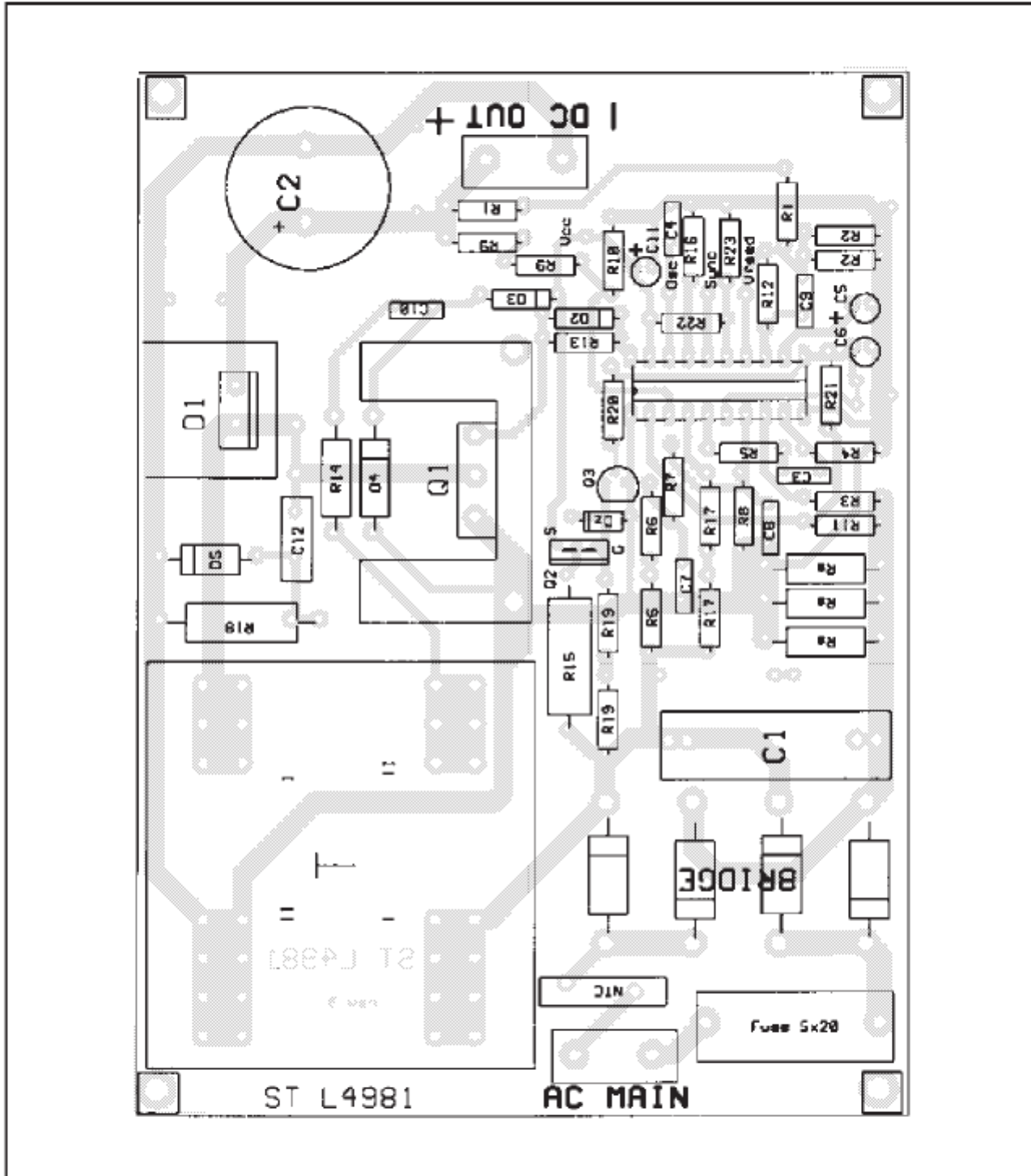
T= 初级: 75的Iitz线20 x 32 AWG (0.2mm) 轮流
 次级: 8化的# 27AWG (0.15mm)
 核心: B1ET3411A汤姆逊- CSF
 差距: 1.4mm, 总初级电感的0.7mH
 $f_{sw} = 100kHz$; $V_o = 400V$; $P_o = 200W$

注意:
启动电路
 通常 V_{oc} 电容 (C11图. 19) 可以收取一个电阻
 借鉴整流电源电流. 在评估板
 相反, 启动电路组成的 (O2+R19+R15+Dz)
 被设计用来进行快速和有效供给的所有
 条件. 一旦该L4981A / B已开始, 参考

引脚电压由6和R20 O3, 可确保O2被打开
 关闭.

可编程欠压分离
 该PCB允许插入一个电阻 (R22, R23) 夫妇修改
 输入电压的阈值. 请参考图. 16和table1.

图20: P.C. 板和组件的评估板电路(1:1规模布局)。



L4981A - L4981B

该评估板的设计采用了：一
快不耗散启动电路，二极管(D2)
加快跟进的MOS启动和关闭时间（即使一
单个电阻可用于）外部分压器
改善过流阈值精确
老。

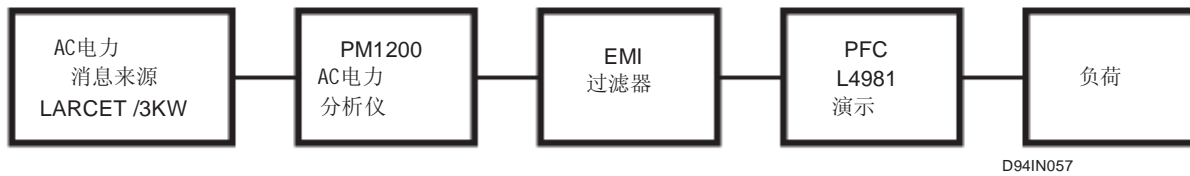
此外有可能改变输入
阈值电压使用外部分频器(R23
和R22)，如果出现问题的浪涌电流

一NTC电阻器都 可以使用。

演出的PFC演示板已
评估测试以下参数：

PF（功率因数），A-THD（当前比例
总谐波失真），H3..H9（百分比
current' s nth 谐波振幅）， ΔV_o （输出
电压纹波）， V_o （输出电压）， η （效率）。

测试配置，设备和结果
包括：

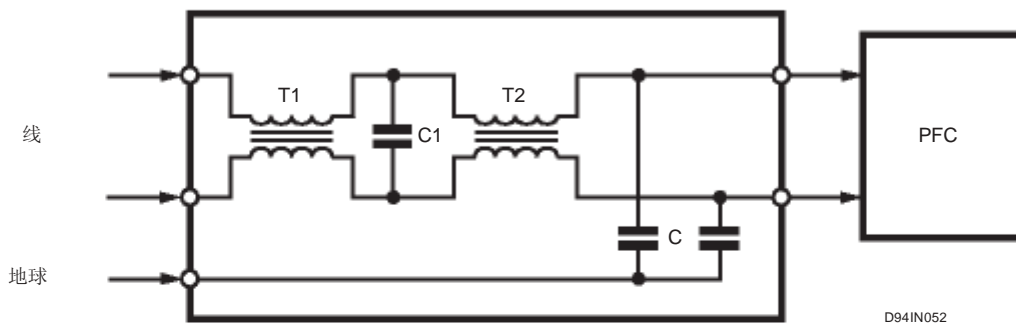


V_i	f	P_i	PF	A-THD	H3	H5	H7	H9	V_o	ΔV_o	PO	η
(V _{rms})	(Hz)	(W)		(%)	(%)	(%)	(%)	(%)	(V)	(V)	(W)	(%)
88	60	222	0.999	2.94	1.98	0.61	0.55	0.70	390	8	200	90.2
110	60	220	0.999	1.79	1.40	0.40	0.31	0.28	392	8	201	91.6
132	60	218	0.999	1.71	1.16	0.40	0.35	0.31	394	8	202	92.8
180	50	217	0.999	1.88	1.52	0.65	0.40	0.34	396	8	203	93.8
220	50	217	0.997	2.25	1.68	0.83	0.57	0.48	398	8	204	94.2
260	50	216	0.995	3.30	1.84	1.30	0.39	0.73	400	8	205	95.2

EMI/RFI 滤波器

谐波含量的测定已
通过使用一EMI/RFI 过滤器之间的中间人

在AC源和被测演示板，
而没有被计算效率
过滤器的贡献。

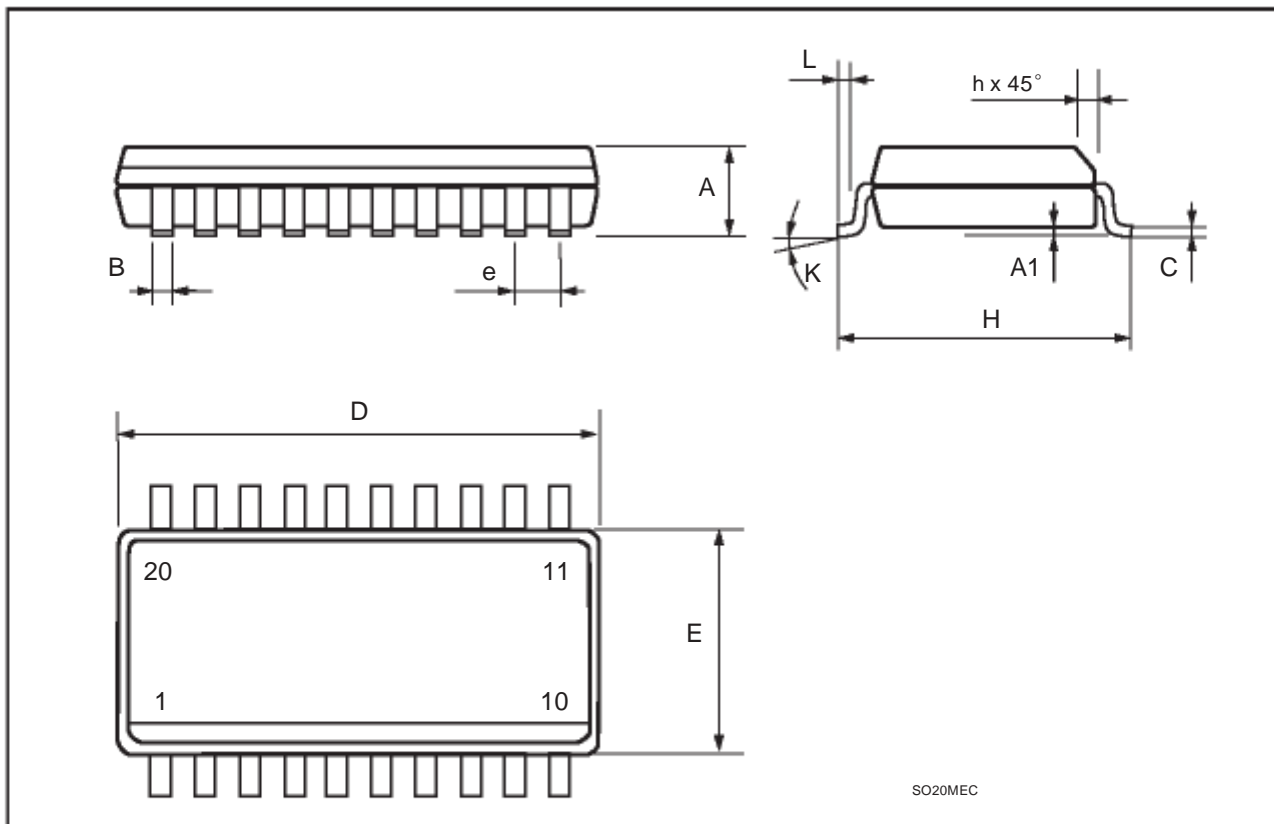


其中：

- T1 = 1mH C1 = 0.33μF, 630V
- T2 = 27mH C2 = 2.2nF, 630V

S020 包装机械数据

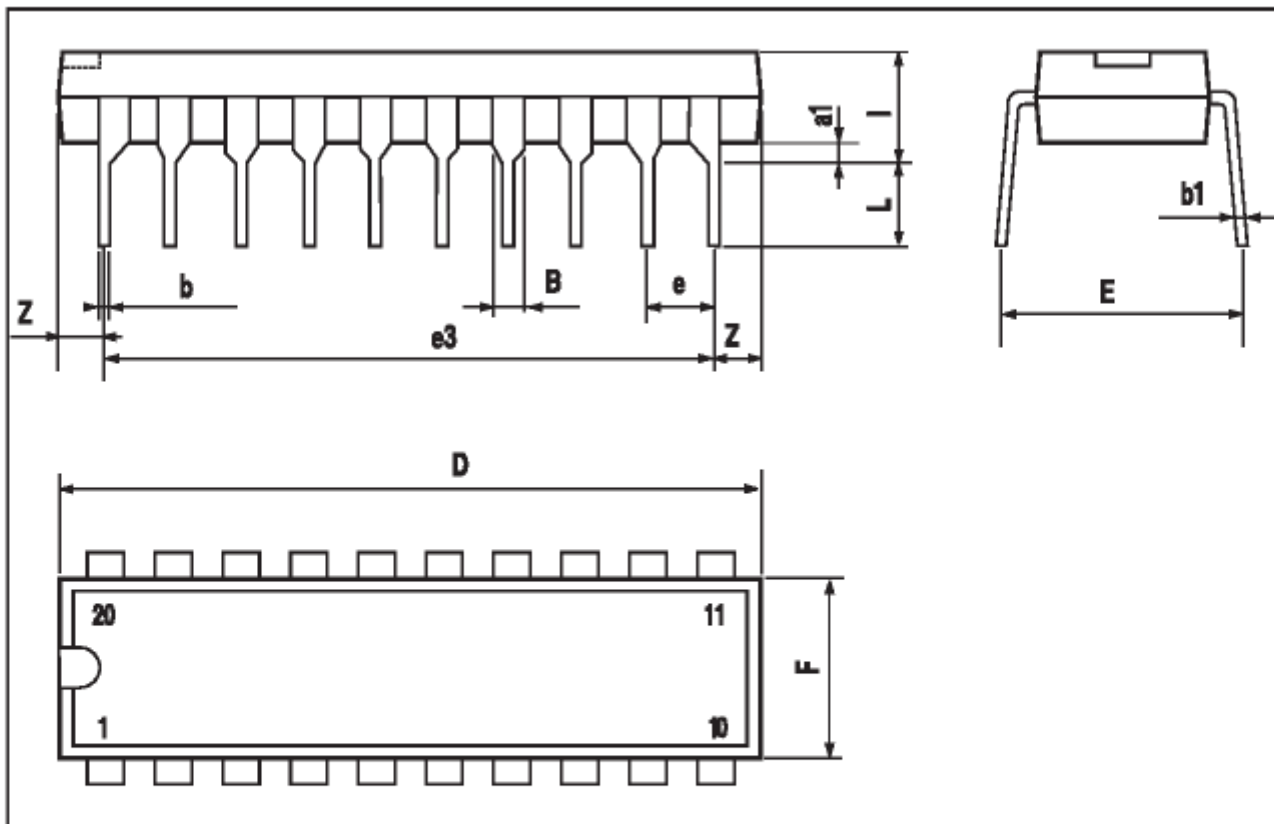
暗淡.	mm			寸		
	最小.	TYP.	最大.	最小.	TYP.	最大.
A	2.35		2.65	0.093		0.104
A1	0.1		0.3	0.004		0.012
B	0.33		0.51	0.013		0.020
C	0.23		0.32	0.009		0.013
D	12.6		13	0.496		0.512
E	7.4		7.6	0.291		0.299
e		1.27			0.050	
H	10		10.65	0.394		0.419
h	0.25		0.75	0.010		0.030
L	0.4		1.27	0.016		0.050
K	0 (分) 8 (最大)					



L4981A - L4981B

DIP20 包装机械数据

暗淡	mm			寸		
	最小	TYP.	最大	最小	TYP.	最大
a1	0.254			0.010		
B	1.39		1.65	0.055		0.065
b		0.45			0.018	
b1		0.25			0.010	
D			25.4			1.000
E		8.5			0.335	
e		2.54			0.100	
e3		22.86			0.900	
F			7.1			0.280
I			3.93			0.155
L		3.3			0.130	
Z			1.34			0.053



提供的资料被认为是准确和可靠. 然而, 意法半导体的后果不承担任何责任.
这类信息也不对任何第三方的专利或可能导致其使用的其他权利的侵犯使用. 没有许可证
授予暗示或以其他方式意法半导体任何专利或专利的权利. 规范本出版物中提到
如有变更, 恕不另行通知. 本刊物并取代以前提供的所有信息. 意法半导体产品
不授权使用的关键部件寿命支持设备或系统的意法半导体未经明确的书面批准.

ST的标志是意法半导体公司的注册商标

© 1998意法半导体在意大利 - 印刷版权所有

意法半导体公司集团

澳大利亚-巴西-加拿大-中国-法国-德国-意大利-日-韩国-马来西亚-马耳他-墨西哥-摩洛哥-荷兰-
新加坡-西班牙-瑞典-瑞士-台湾-泰国-英国- U. S. A.

